

**SINTESIS DAN KARAKTERISASI KOMPOSIT *ZERO
VALENCE IRON (ZVI)* TEREMBANKAN PADA
CARBOXYMETHYL CELLULOSE (CMC) SEBAGAI
PEREDUKSI ION TEMBAGA (Cu^{2+})**

SKRIPSI

Untuk memenuhi sebagian persyaratan
mencapai derajat Sarjana Kimia



Oleh :
Anita Sari
11630011

**PROGRAM STUDI KIMIA
FAKULTAS SAINS DAN TEKNOLOGI
UNIVERSITAS ISLAM NEGERI SUNAN KALIJAGA
YOGYAKARTA
2015**

**SURAT PERSETUJUAN SKRIPSI/TUGAS AKHIR**

Hal : Persetujuan Skripsi/Tugas Akhir

Lamp :-

Kepada

Yth. Dekan Fakultas Sains dan Teknologi

UIN Sunan Kalijaga Yogyakarta

di Yogyakarta

Assalamu'alaikum wr. wb.

Setelah membaca, meneliti, memberikan petunjuk, dan mengoreksi serta mengadakan perbaikan seperlunya, maka kami selaku pembimbing berpendapat bahwa skripsi Saudara:

Nama : Anita sari

NIM : 11630011

Judul Skripsi : Sintesis dan Karakterisasi Komposit Zero Valence Iron (ZVI)

Terembankan pada Carboxymethyl Cellulose (CMC) sebagai Pereduksi
Ion Tembaga (Cu^{2+})

sudah dapat diajukan kembali kepada Program Studi Kimia Fakultas Sains dan Teknologi UIN Sunan Kalijaga Yogyakarta sebagai salah satu syarat untuk memperoleh gelar Sarjana Strata Satu dalam Program Studi Kimia.

Dengan ini kami mengharap agar skripsi/tugas akhir Saudara tersebut diatas dapat segera dimunaqasyahkan. Atas perhatiannya kami menyampaikan terimakasih.

Wassalamu'alaikumwr.wb.

Yogyakarta, 16 Juli 2015

Pembimbing,

Endaruji Sedyadi, M.Sc
NIP. 19820205 201503 1 301



NOTA DINAS KONSULTAN

Hal: Persetujuan Skripsi/Tugas Akhir

Kepada

Yth. Dekan Fakultas Sains dan Teknologi
UIN Sunan Kalijaga Yogyakarta
di Yogyakarta

Assalamu 'alaikum warahmatullahi wabarakatuh

Setelah membaca, meneliti, memberikan petunjuk, dan mengoreksi serta mengadakan perbaikan seperlunya, maka kami berpendapat bahwa skripsi Saudara:

Nama : Anita Sari

NIM : 11630011

Judul Skripsi : Sintesis Dan Karakterisasi Komposit *Zero Valence Iron* (ZVI) Terembankan Pada *Carboxymethyl Cellulose* (CMC)
Sebagai Pereduksi Ion Tembaga Cu (II)

sudah benar dan sesuai ketentuan sebagai salah satu syarat untuk memperoleh gelar Sarjana Strata Satu dalam bidang Kimia.

Demikian kami sampaikan. Atas perhatiannya, kami ucapkan terima kasih.

Wassalamu 'alaikum warahmatullahi wabarakatuh

Yogyakarta, 12 Agustus 2015
Konsultan,

Khamidinal, M.SI.

NIP.: 19691104 200003 1 002



NOTA DINAS KONSULTAN

Hal: Persetujuan Skripsi/Tugas Akhir

Kepada

Yth. Dekan Fakultas Sains dan Teknologi
UIN Sunan Kalijaga Yogyakarta
di Yogyakarta

Assalamu 'alaikum warahmatullahi wabarakatuh

Setelah membaca, meneliti, memberikan petunjuk, dan mengoreksi serta mengadakan perbaikan seperlunya, maka kami berpendapat bahwa skripsi Saudara:

Nama : Anita Sari

NIM : 11630011

Judul Skripsi : Sintesis Dan Karakterisasi Komposit *Zero Valence Iron* (ZVI) Terembankan Pada *Carboxymethyl Cellulose* (CMC)
Sebagai Pereduksi Ion Tembaga Cu (II)

sudah benar dan sesuai ketentuan sebagai salah satu syarat untuk memperoleh gelar Sarjana Strata Satu dalam bidang Kimia.

Demikian kami sampaikan. Atas perhatiannya, kami ucapkan terima kasih.

Wassalamu 'alaikum warahmatullahi wabarakatuh

Yogyakarta, 11 Agustus 2015

Konsultan,

Irwan Nugraha, S.Si, M.Sc.
NIP : 19820329 201101 1 005



NOTA DINAS KONSULTAN

Hal: Persetujuan Skripsi/Tugas Akhir

Kepada

Yth. Dekan Fakultas Sains dan Teknologi
UIN Sunan Kalijaga Yogyakarta
di Yogyakarta

Assalamu 'alaikum warahmatullahi wabarakatuh

Setelah membaca, meneliti, memberikan petunjuk, dan mengoreksi serta mengadakan perbaikan seperlunya, maka kami berpendapat bahwa skripsi Saudara:

Nama : Anita Sari

NIM : 11630011

Judul Skripsi : Sintesis Dan Karakterisasi Komposit *Zero Valence Iron* (ZVI) Terembankan Pada *Carboxymethyl Cellulose* (CMC)
Sebagai Pereduksi Ion Tembaga Cu (II)

sudah benar dan sesuai ketentuan sebagai salah satu syarat untuk memperoleh gelar Sarjana Strata Satu dalam bidang Kimia.

Demikian kami sampaikan. Atas perhatiannya, kami ucapkan terima kasih.

Wassalamu 'alaikum warahmatullahi wabarakatuh

Yogyakarta, 12 Agustus 2015

Konsultan,

Endaruji Sedyadi, M.Sc

NIP.: 19820205 201503 1 301

SURAT PERNYATAAN KEASLIAN SKRIPSI

Saya yang bertanda tangan di bawah ini:

Nama : Anita Sari

NIM : 11630011

Jurusan : Kimia

Fakultas: Sains dan Teknologi

menyatakan bahwa skripsi saya yang berjudul "**Sintesis dan Karakterisasi Komposit Zero Valence Iron (ZVI) Terembankan pada Carboxymethyl Cellulose (CMC) sebagai Pereduksi Ion Tembaga (Cu^{2+})**" merupakan hasil penelitian saya sendiri, tidak terdapat karya yang pernah diajukan untuk memperoleh gelar kesarjanaan di suatu Perguruan Tinggi, dan sepanjang pengetahuan saya juga tidak terdapat karya atau pendapat yang pernah ditulis atau diterbitkan oleh orang lain, kecuali yang secara tertulis diacu dalam naskah ini dan disebutkan dalam daftar pustaka.

Yogyakarta, 16 Juli 2015


Anita Sari
NIM : 11630011


METERAI TEMPEL
TGL 20
0A2DEADF195301897
6000 ENAM RIBU RUPIAH

**PENGESAHAN SKRIPSI/TUGAS AKHIR**

Nomor : UIN.02/D.ST/PP.01.1/2284/2015

Skripsi/Tugas Akhir dengan judul : Sintesis dan Karakterisasi Komposit *Zero Velence Iron* (ZVI) Terembankan pada *Carboxymethyl Cellulose* (CMC) sebagai Pereduksi Ion Tembaga (Cu^{2+})

Yang dipersiapkan dan disusun oleh :

Nama : Anita Sari

NIM : 11630011

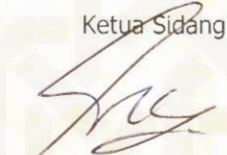
Telah dimunaqasyahkan pada : 31 Juli 2015

Nilai Munaqasyah : A

Dan dinyatakan telah diterima oleh Fakultas Sains dan Teknologi UIN Sunan Kalijaga

TIM MUNAQASYAH :

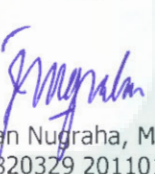
Ketua Sidang


Endaruji Sedyadi, M.Sc

Pengaji I


Khamidinal, M.Si
NIP. 19691104 200003 1 002

Pengaji II


Irwan Nugraha, M.Sc
NIP. 19820329 201101 1 005

Yogyakarta, 12 Agustus 2015

UIN Sunan Kalijaga

Fakultas Sains dan Teknologi

Dekan



Dr. Maizer Said Nahdi, M.Si.
NIP. 19550427 198403 2 001

MOTTO

Belajar Lebih Lengkap Dengan Berdiskusi
Dalam Setiap Kesulitan Pasti Ada Kemudahan
Kekurangan Bukan Hal Yang Perlu Dicemaskan
Tetapi Perlu Dipecahkan Dengan Perlahan
Untuk Dapat Terus Maju Ke Depan



HALAMAN PERSEMBAHAN

*Karya ini saya persembahkan untuk kedua Orang
tua saya dan untuk almamaterku Prodi Kimia UIN
Sunan Kalijaga Yogyakarta.*

KATA PENGANTAR

Segala puji bagi *Rabbul‘alamin* yang telah memberi kesempatan dan kekuatan sehingga skripsi yang berjudul “Sintesis dan Karakterisasi Komposit *Zero Valence Iron* (ZVI) Terembankan pada *Carboxymethyl Cellulose* (CMC) sebagai Pereduksi Ion Tembaga (Cu^{2+})” ini dapat diselesaikan sebagai salah satu persyaratan mencapai derajat Sarjana Kimia.

Penyusun mengucapkan terima kasih kepada semua pihak yang telah memberikan dorongan, semangat, dan ide-ide kreatif sehingga tahap demi tahap penyusunan skripsi ini telah selesai. Ucapan terima kasih tersebut secara khusus penyusun disampaikan kepada:

1. Dr. Hj. Maizer Said Nahdi, M.Si., selaku Dekan Fakultas Sains dan Teknologi UIN Sunan Kalijaga Yogyakarta.
2. Ibu Dr. Susy Yunita Prabawati M.Si., selaku Kepala Program Studi Kimia Fakultas Sains dan Teknologi UIN Sunan Kalijaga Yogyakarta.
3. Endaruji sedyaji, M.Sc., selaku Dosen Pembimbing yang telah dengan tekun dan sabar meluangkan waktunya dalam membimbing, mengarahkan dan memotivasi hingga skripsi ini tersusun.
4. Bapak Didik Krisdiyanto, M.Sc., selaku Dosen pembimbing akademik.
5. Dosen-dosen Program Studi Kimia Fakultas Sains dan Teknologi UIN Sunan Kalijaga Yogyakarta yang sudah membagi ilmu yang sangat bermanfaat.
6. Bapak Wijayanto, S.Si., Indra Nafiyanto, S.Si., dan Ibu Isni Gustanti, S.Si., selaku laboran Kimia Universitas Islam Negeri Sunan Kalijaga Yogyakarta

yang telah memberikan dorongan dan pengarahan selama melakukan penelitian.

7. Kedua orang tua yang selalu memberikan dukungan dan telah membiayai penelitian yang saya lakukan.
8. Seluruh Staf Karyawan Fakultas Sains dan Teknologi Universitas Islam Negeri Sunan Kalijaga Yogyakarta yang telah membantu sehingga penyusunan skripsi ini dapat berjalan dengan lancar.
9. Teman-teman di laboratorium penelitian kimia UIN Sunan Kalijaga atas saran dan bantuannya.
10. Semua pihak yang tidak bisa penyusun sebutkan satu persatu atas bantuannya dalam penyelesaian skripsi ini.

Demi kesempurnaan skripsi ini, kritik dan saran sangat penulis harapkan. Penyusun berharap skripsi ini bermanfaat bagi perkembangan ilmu pengetahuan secara umum dan kimia secara khusus.

Yogyakarta, 14 Juli 2015

Anita Sari
11630011

DAFTAR ISI

HALAMAN JUDUL	i
HALAMAN PERSETUJUAN	ii
HALAMAN NOTA DINAS KONSULTAN.....	iii
HALAMAN SURAT PERNYATAAN KEASLIAN SKRIPSI.....	vi
HALAMAN PENGESAHAN	vii
HALAMAN MOTTO	viii
HALAMAN PERSEMBAHAN	ix
KATA PENGANTAR.....	x
DAFTAR ISI	xii
DAFTAR GAMBAR.....	xiv
DAFTAR TABEL	xvi
ABSTRAK.....	xvii
 BAB I PENDAHULUAN	1
A. Latar Belakang.....	1
B. Batasan Masalah	3
C. Rumusan Masalah.....	4
D. Tujuan Penelitian	4
E. Manfaat Penelitian	4
 BAB II TINJAUAN PUSTAKA DAN LANDASAN TEORI.....	5
A. Tinjauan Pustaka.....	5
B. Dasar Teori	8
1. <i>Zero Valent Iron (ZVI)</i>	8
2. <i>Senyawa Magnetik</i>	9
3. <i>Carboxymethyl Cellulose (CMC)</i>	11
4. Sintesis ZVI Terembankkan CMC.....	12
5. Faktor yang Mempengaruhi Sintesis ZVI	14
6. Logam Cu	17
7. Adsorpsi Langmuir dan Freundlich	18

8. <i>X-Ray Diffraction (XRD)</i>	20
9. <i>Fourier Transform Infrared Spectrometer (FTIR)</i>	22
10. <i>Transmission Electron Microscopy (TEM) dan selected Area Electron Diffraction (SAED)</i>	25
11. Spektronik 20D ⁺	29
C. Kerangka Berfikir dan Hipotesis	30
 BAB III METODE PENELITIAN	33
A. Waktu dan Tempat Penelitian	33
B. Alat-alat Penelitian.....	33
C. Bahan Penelitian	33
D. Cara Kerja Penelitian	34
1. Sintesis komposit ZVI-CMC	34
2. Uji aktivitas komposit ZVI-CMC terhadap konsentrasi Cu(II).	35
 BAB IV HASIL DAN PEMBAHASAN	38
A. Sintesis komposit Besi-CMC	38
1. Karakterisasi FT-IR CMC dan sampel komposit Besi-CMC....	38
2. Karakterisasi XRD sampel komposit Besi-CMC	45
3. Karakterisasi TEM sampel komposit Besi-CMC	49
B. Sintesis komposit Besi-CMC	50
1. Variasi pH Cu ²⁺	50
2. Variasi waktu kontak.....	53
3. Variasi massa komposit Besi-CMC	54
 BAB V KESIMPULAN DAN SARAN	57
A. Kesimpulan.....	57
B. Saran.....	58
 DAFTAR PUSTAKA	59
LAMPIRAN	63

DAFTAR GAMBAR

Gambar 2.1	Sampel ZVI pada HR-TEM; (a,b) sampel baru dan (c,d) sampel 6 bulan (Efecan <i>et al.</i> (2009).....	12
Gambar 2.2	Karakterisasi SAED dalam memprediksi kristalisasi partikel ZVI (Grace <i>et al.</i> , 2012).....	13
Gambar 2.3	Struktur <i>core-shell</i> dari ZVI yang menggambarkan berbagai jenis mekanisme untuk penghilangan komponen logam dan klorinasi (Li <i>et al.</i> , 2006).....	15
Gambar 2.4	Menunjukkan perbedaan ukuran butir, dengan jumlah difraksi pada bidang (111) pada serbuk silika yang dilakukan rotasi sekitar sampel pada sumbu normal ke permukaan sampel (Guinebretiere, 2007).....	21
Gambar 2.5.	Karakterisasi XRD sampel amorf ZVI (Prabu <i>at al.</i> , 2013)....	22
Gambar 2.6	Transisi energi saat molekul dikenai energi foton yang lebih besar dari energi tingkatan molekul (ΔE).....	22
Gambar 2.7	FT-IR sampel CMC hasil sintesis (Mahyong, 2013).....	24
Gambar 2.7	Skema Interaksi <i>specimen</i> (sampel) dengan sinar datang elektron.....	25
Gambar 2.9	Skema <i>Transmission Electron Microscope</i> (TEM).....	27
Gambar 4.1	Spektrum FT-IR sampel CMC.....	38
Gambar 4.2	Data FT-IR sampel tanpa pengeringan dalam penentuan kestabilan ikatan antara CMC dengan partikel besi (konsentrasi 0,065 M). a) konsentrasi CMC sebesar 0,1 w/v%; b) konsentrasi CMC sebesar 0,2 w/v% dan c) konsentrasi CMC sebesar 0,3 w/v%.....	39
Gambar 4.3	Data FT-IR yaitu a) sampel kering CMC dengan partikel besi (konsentrasi 0,179 M) dan b) sampel kering CMC dengan partikel besi (konsentrasi 0,179 M) hasil reduksi dan adsorpsi Cu^{2+}	42
Gambar 4.4	Data XRD berdasarkan perlakuan yang berbeda antara a) sampel tanpa pengeringan komposit Besi-CMC (0,065 M) b) sampel kering komposit Besi-CMC (0,175 M).....	44
Gambar 4.5	Sampel kering Besi-CMC (0,179 M) hasil reduksi dan adsorpsi dengan larutan Cu^{2+}	47
Gambar 4.6	Data TEM dengan konsentrasi Fe^{2+} sebesar 0,065 M a) perbesaran 50 nm, b) perbesaran 20 nm, c) ukuran partikel besi < 2 nm.....	48

Gambar 4.7	Hasil reduksi dan adsorpsi komposit Besi-CMC larutan Cu ²⁺ berdasarkan pH 1, 2, 3, 4 dan 5.....	51
Gambar 4.8	Grafik variasi waktu dengan konsentrasi tetap larutan Cu ²⁺ 0.013 M atau 3333 mg/L.....	52
Gambar 4.9	Grafik variasi konsentrasi massa komposit Besi-CMC dengan konsentrasi tetap larutan Cu ²⁺ sebesar 0.013 M atau 3333 mg/L.....	53
Gambar 4.10	a) Grafik Freundlich dengan R ² = 0,676 dan b) Grafik Langmuir dengan R ² = 0,734.....	54

DAFTAR TABEL

Tabel 4.1. Data FT-IR berdasarkan ikatan CMC dengan partikel besi.....	41
Tabel 4.2 Data XRD berdasarkan peningkatan kadar Oksida pada Fe ⁰ serta hasil reduksi, adsorpsi dan persipitasi Besi-CMC.....	48

ABSTRAK

SINTESIS DAN KARAKTERISASI KOMPOSIT *ZERO VALENCE IRON* (ZVI) TEREMBANKAN PADA *CARBOXYMETHYL CELLULOSE* (CMC) SEBAGAI PEREDUKSI ION TEMBAGA (Cu^{2+})

Oleh:

Anita Sari

11630011

Dosen Pembimbing: Endaruji Sedyadi, S.Si, M.Sc.

Komposit ZVI (*Zero Valen Iron*) dengan CMC (*Carboxymethyl Cellulose*) sebagai adsorben dan pereduksi logam berat Cu^{2+} telah disintesis menggunakan metode reduksi. Penelitian ini bertujuan untuk mengetahui karakteristik komposit ZVI-CMC dan untuk mengetahui kemampuan komposit ZVI-CMC dalam meremidiasi logam berat Cu^{2+} . Cara sintesis dilakukan dua perlakuan yang berbeda pertama sampel tanpa pengeringan dengan konsentrasi 0,065 M dengan variasi CMC sebesar 0,1; 0,2 dan 0,3 w/v% dan kedua sampel dengan pengeringan menggunakan konsentrasi 0,179M dengan konsentrasi CMC sebesar 0,2 w/v%. Adapun perlakuan konstan sintesis ZVI-CMC dengan perbandingan $\text{Fe}^{2+}/\text{BH}_4^-$ sebesar 1:3, suhu sintesis 22 °C , dan pH 6 saat sintesis.

Hasil analisis kualitatif menggunakan FT-IR menunjukkan kestabilan ikatan antara CMC dengan partikel besi pada variasi CMC sebesar 0,2 w/v% dengan pergeseran bilangan gelombang dari gugus -OH CMC sebesar $3425,58 \text{ cm}^{-1}$ menjadi $3302,13 \text{ cm}^{-1}$ untuk sampel tanpa pengeringan. Berdasarkan hasil analisis kuantitatif XRD menunjukkan bahwa sampel tanpa pengeringan dan sampel kering memiliki karakter kristalinitas yang rendah baik senyawa magnetik atau oksida besi dan Fe. Sedangkan sampel komposit Besi-CMC hasil remediasi dengan larutan Cu^{2+} menunjukkan penurunan senyawa magnetik dan besi oksida. Hasil analisis menggunakan TEM menginformasikan bahwa ukuran partikel besi yaitu < 2 nanometer. Berdasarkan uji aktivitas, komposit Besi-CMC memiliki kemampuan melakukan reaksi reduksi maupun adsorbsi sehingga diperoleh titik optimum pH 4, waktu kontak sebesar 6 jam dan massa komposit Besi-CMC sebesar 0,35 gram.

Kata kunci : CMC, ZVI, remediasi dan partikel besi.

BAB I

PENDAHULUAN

A. Latar Belakang

Perkembangan dunia industri tentu tidak lepas dari proses produksi. Disisi lain limbah yang dihasilkan dapat menimbulkan masalah pencemaran lingkungan air yang berkelanjutan apabila tidak segera ditangani. Limbah industri pada umumnya terdiri dari bahan organik maupun anorganik. Limbah organik merupakan limbah yang dapat membusuk disebabkan oleh bakteri patogen yang berkembang dengan sangat baik dalam lingkungan air. Limbah anorganik merupakan limbah yang sukar membusuk dan sulit didegradasi oleh mikroorganisme yang dapat menyebabkan jumlah ion logam bertambah dalam lingkungan air. Buangan limbah anorganik dari industri pada umumnya berupa unsur-unsur logam berat (Hg, Pb, Co, Cu, Zn) (Wisnu, 1994).

Adapun jenis industri penghasil limbah anorganik diantaranya industri tekstil berupa buangan limbah cair yang mengandung tembaga (Cu), krom (Cr) dan seng (Zn) yang digunakan dalam proses pewarnaan atau percetakan (Smith, 1988), industri pertambangan Cu, industri galangan kapal dan lain-lain (Palar, 1994). Menurut Palar (1994) bahwa air yang mengandung ion-ion tembaga (Cu), krom (Cr) dan perak (Ag) tersebut sangat berbahaya bagi tubuh manusia, disebabkan adanya kecenderungan logam yang dapat berakumulasi dalam jaringan tubuh dan menimbulkan berbagai jenis keracunan seperti sirosis hati, kerusakan ginjal, hemolisis, muntah, dan kram.

Limbah tersebut dapat diatasi menggunakan teknologi remediasi yang telah banyak ditawarkan dan dikembangkan diantaranya berupa: adsorpsi dengan menggunakan zeolit, bentonit, dan kitosan. Reduksi logam pencemar dengan menggunakan *Zero Valence Iron* (ZVI) dan masih banyak yang lainnya. Dewasa ini, para peneliti banyak mengembangkan pengolahan logam besi berupa sintesis ZVI sebagai salah satu alternatif untuk mengurangi limbah logam berat di perairan.

ZVI menawarkan beberapa keuntungan yaitu memiliki luas permukaan tinggi dengan reaktivitas yang besar pada permukaannya dibandingkan besi massal pada umumnya (Lien, 1999). Sintesis Fe⁰ juga menghasilkan senyawa magnetik terdiri dari oksidasi Fe(II) atau Fe(III) yang mengendap dipermukaan besi oksida, hidroksida dan oksihidroksida yang dekat dengan permukaan ZVI (Klimkova *et al.*, 2011) membantu adsorpsi pada Fe⁰, sehingga ZVI dapat berfungsi sebagai reduksi dan adsorpsi. Akan tetapi, Fe⁰ mudah teroksidasi di udara, mudah agglomerasi dan aggregasi sehingga menurunkan reaktivitas Fe⁰ (Ponder *et al.*, 2000). Berbagai upaya peningkatan reaktivitas pada permukaan Fe⁰ telah banyak dilakukan dengan menggunakan bahan pendukung, yang secara efektif membantu meningkatkan remediasi logam berat di perairan (Wang *et al.*, 2010).

Beberapa bahan pendukung yang digunakan antara lain seperti polimer CMC, Guargum, Kitosan dan PA yang menyediakan stabilitas sterik atau tolakan kuat yang lebih besar dari tolakan elektrostatik (Geng *et al.*, 2009) sehingga meningkatkan sifat fisik yang lebih stabil dan sifat kimia yang reaktif pada Fe⁰

(Ponder *et al.*, 2000). Menurut Alowitz and Scherer (2002) upaya melakukan reduksi logam Cr(VI) oleh Fe⁰ tersebut dipengaruhi oleh jenis logam besi, konsentrasi Fe⁰ termasuk besi oksida dan nilai pH, begitupun dengan reduksi logam Cu(II).

Berdasarkan identifikasi masalah yang ada maka pada penelitian ini dapat dilakukan penelitian tentang sintesis dan pengaruh variabel-variabel terkait untuk meningkatkan kinerja ZVI dengan CMC dalam reduksi Cu(II).

B. Batasan Masalah

Beberapa batasan masalah yang diambil dari banyaknya ruang lingkup yang ada dalam penelitian ini sebagai berikut:

1. Material pereduksi yang digunakan untuk adsorbsi-reduksi adalah komposit ZVI:CMC
2. Material pengembalan untuk ZVI adalah *carboxymethyl cellulose* (CMC)
3. Ada lima variabel yang akan digunakan dalam menentukan pembentukan ZVI dengan CMC dalam reduksi Cu(II) diantaranya: perbandingan konsentrasi ZVI:CMC, Konsentrasi Cu(II), nilai pH dan temperatur saat reaksi.
4. Instrumen yang digunakan dalam penelitian ini antara lain: FTIR, XRD, TEM dan Spektronik 20D⁺.

C. Rumusan masalah

Berdasarkan identifikasi masalah di atas dapat dirumuskan masalah sebagai berikut:

1. Bagaimana gugus fungsi dan fasa kristalin komposit ZVI terembankan CMC serta senyawa yang dihasilkan dari sintesis ZVI?
2. Bagaimana ukuran partikel ZVI terembankan CMC?
3. Bagaimana kinerja komposit ZVI terembankan CMC dalam adsorpsi reduksi Cu(II) pada berbagai variabel?

D. Tujuan Penelitian

Penelitian ini bertujuan untuk:

1. Mengetahui gugus fungsi dan fasa kristalin komposit ZVI terembankan CMC serta senyawa yang dihasilkan dari sintesis ZVI
2. Mengetahui ukuran partikel ZVI terembankan CMC
3. Mengetahui kinerja komposit ZVI terembankan CMC dalam adsorpsi reduksi Cu(II) pada berbagai variabel

E. Manfaat

Penelitian ini diharapkan mampu memberikan pengetahuan cara pembuatan ZVI dengan CMC dalam mengurangi pencemaran limbah logam berat. Selain itu memberikan cara alternatif remediasi dalam mengurangi limbah Cu(II) selain cara biomederasi oleh strain bakteri yang juga mengatasi pencemaran logam, tetapi dapat menimbulkan sifat toksik dalam limbah.

BAB V

KESIMPULAN DAN SARAN

A. Kesimpulan

Berdasarkan penelitian yang telah dilakukan dapat dimbil beberapa kesimpulan, yaitu:

1. Penambahan pengembangan CMC untuk partikel besi partikel besi ditunjukkan dari gugus $-OH$ dan COO^- yang menunjukkan ikatan CMC dengan partikel besi. Selain itu, hasil karakterisasi komposit Besi-CMC menunjukkan penurunan pembentukan Fe serta bertambahnya senyawa magnetik atau besi oksida dan terjadi penurunan senyawa magnetik atau oksida besi setelah komposit Besi-CMC melakukan remediasi dengan larutan Cu^{2+} .
2. Sintesis komposit Besi-CMC pada karakterisasi TEM menunjukkan senyawa besi dalam skala kecil <2 nm dan menginformasikan bahwa CMC berwarna putih sedangkan partikel besi berwarna hitam.
3. Berdasarkan uji aktivitas, komposit Besi-CMC memiliki kemampuan melakukan reduksi dan adsorpsi sehingga diperoleh optimum pH 4, waktu kontak 6 jam dan massa komposit Besi-CMC sebesar 0.35 gram. Kemudian reaksi remediasi komposit Besi-CMC dengan larutan Cu^{2+} ini masuk metode Langmuir dengan susunan permukaan monolayer yang seragam.

B. Saran

Adapun beberapa saran dari penelitian ini antara lain:

1. Masih perlunya dilakukan penelitian kembali tentang Massa relatif CMC yang menurut penelitian sebelumnya bahwa konsentrasi CMC terbaik dapat meningkatkan sisi aktif Fe. Oleh karena itu, dengan mengetahui konsentrasi CMC dapat membuktikan bahwa dengan konsentrasi 0,2 w/v% bukan merupakan konsentrasi berlebih ataupun kurang.
2. Ada baiknya setiap karakterisasi, sampel disimpan pada wadah vakum (atau bebas O₂) untuk menghindari terjadinya oksidasi pada sampel.
3. Masih diperlukan perbaikan metode penelitian agar dapat menghasilkan ZVI yang lebih banyak dan bukan senyawa partikel besi lainnya. Salah satunya dengan metode sintesis maupun metode penyimpanan dalam wadah vakum (atau bebas O₂).

DAFTAR PUSTAKA

- Adel, A. M.; Yo Youssef, H. A.; El-Gendy, A. A.; Nada, A. M. Carboxymethyl Cellulose Hydrogel; Sorption Behavior and Characterization. *Natural and Science*. 2010, 8, 8.
- Akbari, A.; Mohamadzadeh, F. New Method of Synthesis of Stable Zero Valent Iron Nanoparticles (Nzvi) by Chelating Agent Diethylene Triamine Penta Acetic Acid (DTPA) and Removal of Radioactive Uranium From Ground Water by using Iron Nanoparticle. *Journal of Nanostructures*. 2012, 2, 175-181.
- Alowitz, M. J.; Scherer, M. M. Kinetics of Nitrate, Nitrite, and Cr (VI)Reduction by Iron Metal. *Environ. Sci. Technol.* 2002, 36, 299-306.
- Anita, W. F.; Yudhi, U.; Irma, K. K. Analisis kandungan Tembaga (Cu) dalam Air dan Sendimen di Sungai Surabaya. *Analytical Sciences*. 2008, Vol.20, 1-8.
- Chai, M. N.; Isa, M. I. N. The Oleic Acid Composition Effect on the Caaboxymethyl Cellulose Based Biopolymer Electrolyte. *Journal of Crystallization Process and Technology*. 2013, 3, 1-4.
- Chan, S. Application of Metallic Nanoparticles for Groundwater Remediation. M.S. Thesis, the School of Arts and Science Tunku Abdul Rahman State University, State College, Kuala Lumpur, January 2011.
- Carroll, O. D.; Sleep, B.; Krol, M.; Boparai, H.; Kocur, C. Nanoscale Zero Valent Iron and Bimetallic Particles for Contaminated Site Remediation. *Advance in Water Resource*. 2013, 51, 104-122.
- Celebi, O.; Uzum, C.; Shahwan, T.; Erten, H. N. A Radiotracer Study of the Adsorption Behavior of Aqueous Ba²⁺Ions on Nanoparticles of Zero-Valent Iron. *Journal of Hazardous Materials*. 2007, 148, 761-767.
- Chai, M. N.; Isa, M. I. N. The Oleic Acid Compostion Effect on the Carboxymethyl Cellulose Based Biopolimer Electrolyte. *Journal of Crystallization Process and Technology*. 2013, 3, 1- 4.
- Cirtiu, C. M.; Raychoudhury, T.; Ghoshal, S.; Moores, A. Systematic Comparison of the Size, Surface Characteristic and Colloidal Stability of Zero Valent Iron Nanoparticles Pre and Post-Grafted with Common polymers. *Colloid Surface A*. 2011, 390, 95-104.
- Efecan, N.; Shahwan, T.; Eroglu, A. E.; Lieberwirth, I. Characterization of the Uptake of Aqueous Ni²⁺ Ions on Nanoparticles of Zero-Valent Iron (nZVI). *Desalination*. 2009, 249, 1048-1054.
- Eva, F. K.; Syafrizal; Adinda, N. S. Pengolahan Limbah Campuran Logam Fe, Cu, Ni dan Amonia Menggunakan Metode Flotasi-Filtrasi dengan Zeolit Alam Lampung Sebagai Bahan Pengikat. *Prosiding Seminar nasional Teknik kimia "Kejuangan"*. 2010, B04-1-B04-5. ISSN 1693-4393.

- Fritriyah, A. W.; Utomo, Y.; Kusumaningrum, I. K. Analisis Kandungan Tembaga (Cu) Dalam Air dan Sedimen di Sungai Surabaya. *Jurusan Kimia, FMIPA Universitas Negeri Malang*, 2013.
- Geng, B.; Jin, Z. H., Li, T. L.; Qi, X. H. Preparation of Chitosan-Stabilized Fe⁰ Nanoparticles for Removal of Hexavalent Chromium in Water. *Sci. Total Environ.* 2009, 407, 4994-5000.
- Grace, T. J.; Sulungbudi; Mujamilah; Ari, H. Sintesis nanopartikel Magnetik Core/Shell Fe/Oksida Fe dengan Metode Reduksi Kimia. Juni 2012, Vol. 13, No.3, 182-187. ISSN : 1411-1098.
- Hanna, F. growth and Characterization of Amorphous Tialsin and Hfalsin Thin Films. M.S. Thesis, The state Linkopings university, state college, IT. 2012.
- He, F.; Zhao, D. Manipulating the Size and Dispersibility of Zero Valent Iron Nanoparticles by Use of Carboxymethyl Cellulose Stabilizers. *Environ. Sci. Technol.* 2007, 41, 6216-6221.
- Kanel, S. R.; Greneche, J. M.; Choi, H. Arsenic (V) Removal from Groundwater Using Nanoscale Zero Valent Iron as A Colloidal Reaction Barrier Material. *Environ. Sci. Technol.* 2006, 40, 50-2046.
- Lien, H. L.; Zhang, W. X. Transformation of Chlorinated Methanes by Nanoscale Iron Particles. *Journal of Environ. Eng- ASCE*. 1999, 125, 7-1042.
- Li, X. Q.; Elliot, D.W.; Zhang, W. X. Zero-Valent Iron Nanoparticles for Abatement of Environmental Pollutants: materials and engineering aspects. *Crit Rev Solid State*. 2006, 31, 22-111.
- Mcmurry, J.; Fay, R. C. *Chemistry*. Prentice Hall: Englewood Cliffs, NJ, 1995.
- Mery, M. *Hubungan Antara Keasaman, Lumpur, dan bahan Penetrat yang Dibutuhkan dalam Satuan Volume Air Asam Tambang*. PT. Trubaindo Coal Mining: Bandung, 2014; pp 1-19.
- Mohammad, M.; Sepideh, N.; Alireza, K.; Simin, N.; Ahmad, A. H. Removal of Arsenic (III,V) from Aqueous Solution by Nanoscale Zero-Valent Iron Stabilized with Starch and Carboxymethyl Cellulose. *Journal of Environmental Health Science & Engineering*. 2014, 12-74.
- Mohd, R. J.; Mohd, S. M. S.; Nor, L. H.; Hee, A. C. Annealling Effects on the Properties of Copper Oxide Thin Films Prepared by Chemical Deposition. *Int. J. Electrochem. Sci.* 2011, 6, 6094-6104.
- Mondal, K.; Jegadeesan, G.; Lalvani, S. B. Removal of Selenate by Fe and NiFe Nanosized Particle. *Ind. Eng. Chem. Rhes.* 2004, 43, 34-4922.
- Nakamoto, K. *Infrared and Raman Spectra of Inorganic and Coordination Compounds Part B: Application in Coordination, Organometallic, and Bioinorganic Chemistry*. AJohn Wiley & Sons, Inc., Canada, 2009.
- Olalekan, A. P.; Olatunya, A. M.; Dada, A. O.; DADA, O. Langmuir, Freundlich, Temkin and Dubinin–Radushkevich Isotherms Studies of Equilibrium

- Sorption of Zn²⁺Unto Phosphoric Acid Modified Rice Husk. *Journal of Applied Chemistry (IOSR-JAC)*, ISSN: 2278-5736. Volume 3, Issue 1(Nov. – Dec. 2012), 38-45.
- Palar, H. *Pencemaran dan Toksikologi Logam Berat*. PT Rineka Cipta, Jakarta, 1994.
- Palar, H. *Pencemaran dan Toksikologi Logam Berat*. PT.Rineka Cipta, Jakarta, 2004.
- Petela, E.; Dimos, K.; Douvalis, A.; Bakas, T.; Tucek, J.; Zbofil, R.; Karakassides, M.A. Nanoparticle Zero-Valent Iron Supported on Mesoporous Silica: Cahracterization and Reactivity for Cr (VI) Removal from Aqueous Solution. *Journal of Hazardous Materials*. 2013, 261, 295-306.
- Pijit, J.; Wei, X. Z.; Hsing, L. L. Enhanced Transport of Polyelectrolyte Stabilized Nanoscale Zero-Valent Iron (nZVI) in Porous Media. *Chemical Engineering Journal*. 2011, 170, 482-491.
- Ponder, S. M.; Darab, J. G.; Mallouk, T.E. Remediationof Cr (VI) and Pb (II) Aqueous Solutions Using Supported Nanoscale Zero-Valent Iron. *Environ. Sci. Technol.* 2000, 34, 2564-2568.
- Prabu, D.; Parthiban, R. Synthesis and Characterization of Nanoscale Zero Valent Iron (NZVI) nanoparticles for Enviromental Remediation. *J. Pharm. Tech.* 2013, Vol.3: Issue 4, 181-184.
- Rahmani, A. R.; Ghaffari, H. R.; Samadi, M. T. A Comparative Study on Arsenic (III) Removal from Aqueous Solution Using Nano and Micro Sized Zero-Valent Iron. *Jurnal Environ. Health. Sci. Eng.* 2011, Vol. 8 & No. 2, pp. 175-180.
- Rochayatun, E.; Edward.; Rozak, A. Kandungan Logam Berat Pb, Cd, Cu, Zn, Ni, Cr, Mn & Fe Dalam Air Laut Dan Sedimen Di Perairan Kalimantan Timur . *Jurnal Oseanologi dan Limnologi*. 2003, 35(1), 51-71.
- Savage, N.; Diallo, M.; Duncan, J.; Street, A.; Sustich, R. *Nanotechnology Application for Clean Water*. William Andrew .Inc, Norwich, NY. USA, 2009.
- Shili, X.; Hui, M.; Miangwu, S.; Shanyun, W.; Qingguo, H.; Xiangyang, S. Excellent Copper (II) Removal Using Zero-Valent Iron nanoparticle-Immobilized Hybrid Electrospun Polymer Nanofibrous Mats. *Colloids and Surface A: Physicochem. Eng. Aspects*. 2011, 381, 48-54.
- Smith, B. A. *Workbook for Pollution Prevention by Source Reduction in Textile Wet Processing Pollution*. Prevention Pays Program of the North Carolina Division of Environmental Management, 1998.
- Suprihatin; Errieck. Biosorpsi Logam Cu(Ii) Dan Cr (Vi) Pada Limbah Elektroplating Dengan Menggunakan Biomasa Phanerochaete Chrysosporium. *Jurnal Teknik Kimia* Vol.4,No.1, September 2009.

- Sushil, R. K.; Bruce, M.; Laurent, C.; Heechul, C. Removal of Arsenic (III) from Groundwater by Nanoscale Zero-Valent Iron. *Environ. Sci. Thehnol.* 2005, 39, 1291-1298.
- Teguh, K. B.; Rachman, F.; Purbo, C. *X-Ray Diffraktometer (XRD)*. Universitas Sebelas Maret, Surakarta, 2009.
- Trishikhi, R.; Nathalie, T.; Subhasis. G. Aggregation and Deposition Kinetics of Carboxymethyl Cellulose-Modified Zero-Valent Iron nanopartikelin Porous Media. *Water Research*. 2012, 46, 1735-1744.
- Wang, Q.; Qian, H.; Yang, Y.; Zhang, Z.; Naman, C.; Xu, X. Reduction of Hexavalent Chromium by Carboxymethyl Cellulose- Stabilized Zero Valent Iron Nanoparticles. *Journal of Contaminant Hydrology*. 2010, 114, 35-42.
- Wijesekara, S. S. R. M. D. H. R.; Basnayake, B. F. A.; Vithanage, M. Organoc- Coated Nanoparticulate Zero Valent Iron for Remediation of Chemical Oxygen Demand (COD) and Dissolved Metals from Tropical landfill Leachate. *Environmental Science and Pollution Reserch*. 2014, Doi 10.1007-11356-014-2625-1. ISSN 0944-1344.
- Wisnu, A. U. *Dampak Pencemaran Lingkungan*. Andi Offset, Yogyakarta, 1994.
- Xiong, Z.; Zhao, D.; Pan, G. Rapid and Complete Destruction of Perchlorate in Water and ion-exchange Brine Using Stabilized Zero-Valent Iron Nanoparticles. *Water Research*. 2007, 41, 3497-3505.
- Ying, J. Ions Removal by Iron nanoparticles: A Study on Solid-Water Interface with Zeta Potential. *Coloids and Surface A: Physicochem. Eng. Aspects*. 2014, 444, 1-8.

LAMPIRAN

A. Lampiran Karakterisasi

1. Karakterisasi XRD untuk komposit Besi-CMC.

a) Tabel 1 Karakterisasi XRD sampel komposit Besi-CMC tanpa pengeringan

No.	Nama Senyawa	JCPDS	2θ	Intensitas
1	Fe ⁰ atau besi bervalensi nol (bentuk: <i>cubic</i> , kisi: <i>body-centered</i>)	65,018(200)	65,115	11
2	Fe ₃ O ₄ atau magnetit (bentuk: <i>cubic</i> , kisi: <i>face-centered</i>)	30,100(220) 47,177(331) 56,983(511) 65,737(531) 66,847(442) 70,927(620)	30,1466 47,1683 56,995 65,7383 66,835 70,91	12 16 5 10 15 18
3.	α -Fe ₂ O ₃ atau hematit(bentuk: <i>rhombohedral</i> , kisi: <i>Rhomb-centered</i>)	39,373(006) 49,480(024) 54,091(116) 57,429(122) 57,715(018) 62,636(214) 66,236(125) 69,640(208) 72,136(1010) 75,430(220) 79,049(223)	39,3 49,47 54,086 57,42 57,7066 62,68 66,285 69,6925 72,1875 75,44 79,0237	4 12 9 7 20 18 9 13 18 6 12
4	γ -Fe ₂ O ₃ atau maghemit(bentuk: <i>cubic</i> , kisi: <i>primitive</i>)	35,659(311) 38,879(320) 57,321(511) 68,314(610) 69,368(611)	35,623 38,8975 57,3216 68,3282 69,39	23 12 6 13 6
5	γ -Fe ₂ O ₃ atau maghemit(bentuk: <i>tetragonal</i> , kisi: <i>primitive</i>)	11,177(101) 15,003(103) 16,619(112) 17,452(103) 30,528(116) 32,487(205) 40,415(316) 53,852(212) 63,011(4012) 70,548(2015)	11,12 15,0483 16,64 17,48 30,5683 32,4266 40,4246 53,8729 63,0143 70,5233	22 3 12 13 16 20 20 10 17 20

		71,882(2115)	71,8413	18
		79,549(4412)	79,5525	10
6	$\gamma\text{-FeO(OH)}$ atau geotit (bentuk: tetragonal, kisi: <i>body-centered</i>)	11,933(110)	11,9	2
		16,907(200)	16,945	23
		23,998(220)	23,95	15
		26,881(130)	26,835	20
		43,141(321)	43,1	2
		52,337(600)	52,3367	29
		53,129(501)	53,15	18
		70,081(701)	70,0708	20
		73,377(332)	73,3954	19
		78,438(750/152)	78,45	5
7	Oksida besi lainnya:			
a)	FeO. 9O2O (bentuk: <i>cubic</i> , kisi: <i>primitive</i>)	25,821(322)	25,8862	22
		29,351(330)	29,3383	14
		30,174(331)	30,1466	12
		38,181(521)	38,1191	20
		41,989(600)	41,985	11
		44,378(620)	44,3545	25
		51,011(640)	51	22
		54,602(731)	54,68	11
		66,807(920)	66,835	15
b)	Fe3+O(OH) (bentuk: <i>orthorhombic</i> , kisi: <i>primitive</i>)	26,322(120)	26,3225	21
		34,700(021)	34,7	25
		36,055(040)	36,005	6
		39,984(121)	39,92	7
		61,322(320)	61,34	2
c)	Fe+2Fe2+3O4 (bentuk: <i>cubic</i> , kisi: <i>face-centered</i>)	37,052(222)	37,05	7
		53,391(422)	53,3611	18
		65,743(531)	65,7383	10
		70,924(620)	70,91	18
8	Fe(OH)3 (bentuk: <i>cubic</i>)	48,016(-)	48,04	17
		50,458(400)	50,405	21
	Fe(OH)3	21,24	21,295	21
		60,25	60,24	5
		67,977	67,94	14
9	NaBH4 (bentuk: <i>cubic</i> , kisi: <i>face-centered</i>)	20,456(002)	20,4166	18
		29,093(022)	29,04	7
		34,210(113)	34,2309	14
10	Fe2B (bentuk: tetragonal, kisi : <i>body-centered</i>)	28,527 (110)	28,5337	21
		52,606(212)	52,6568	12
11	FeB <i>orthorhombic</i> (kisi:	54,879(130)	54,8598	21

		<i>primitive)</i>	56,272(220) 72,720(022)	56,29 72,7517	2 25
12	FeSO ₄		25,27	25,2	2
13	H ₃ BO ₃ (bentuk: <i>Anorthic</i> , kisi: <i>Primitive</i>)		14,969(100) 18,493(011) 19,270(111) 21,084(111) 26,843(211) 28,020(002) 29,511(121) 33,793(221) 36,535(201) 37,490(022) 40,276(210) 41,666(231)	14,689 18,460 19,271 21,036 26,835 28,002 29,515 33,776 36,575 37,438 40,227 41,635	6 13 9 11 20 18 11 13 9 11 15 10
14	BO ₄ (bentuk: <i>orthorhombic</i> , kisi: <i>End-centered</i>)		45,636(131) 60,099(202) 62,285(240) 78,453(312)	45,655 60,040 62,246 78,450	9 2 16 5

b) Tabel 2 Karakterisasi XRD sampel kering komposit Besi-CMC

No.	Nama Senyawa	JCPDS	2θ	Intensitas
1	Fe ⁰ atau besi bervalensi nol (bentuk: <i>cubic</i> , kisi: <i>body-centered</i>)	44,671(110)	44,9233	9
2	Fe ₃ O ₄ atau magnetit (bentuk: <i>cubic</i> , kisi: <i>face-centered</i>)	37,158(222) 43,088(400) 53,455(422) 65,737(531) 74,026(533) 75,028(622)	37,1333 43,075 53,4553 65,72 74,0033 75,03	11 8 14 3 10 20
3.	α-Fe ₂ O ₃ atau hematit(bentuk: <i>rhombohedral</i> , kisi: <i>Rhomb-centered</i>)	24,759(012) 33,279(104) 35,740(110) 43,640(202) 49,554(024) 52,831(116) 54,091(116) 56,339(211) 57,743(018) 62,451(214) 65,361(214) 67,761(119)	24,7708 33,26 35,7233 43,625 49,585 52,82 54 56,375 57,7433 62,475 65,365 67,78	7 23 14 10 2 6 9 11 10 10 2 13

		69,301(300)	69,31	8
		72,136(1010)	72,1466	11
		75,513(220)	75,5666	12
		77,782(0210)	77,7733	16
		79,049(223)	79,01	11
		79,768(131)	79,7966	6
4	$\gamma\text{-Fe}_2\text{O}_3$ atau maghemit(bentuk: <i>cubic</i> , kisi: <i>primitive</i>)	30,265(220) 53,779(422) 54,972(430) 68,314(610)	30,2573 53,77 54,955 68,365	11 10 7 12
5	$\gamma\text{-Fe}_2\text{O}_3$ atau maghemit(bentuk: tetragonal, kisi: <i>primitive</i>)	12,995(101) 21,405(113) 43,340(0012) 47,330(316) 57,364(406) 64,822(500) 79,549(4412)	12,975 21,42 43,34 47,395 57,3583 64,88 79,5566	9 4 6 12 7 2 5
6	$\gamma\text{-FeO(OH)}$ atau geotit (bentuk: tetragonal, kisi: <i>body-centered</i>)	26,881(130) 66,789(222) 67,414(541) 70,081(701) 73,377(332) 74,665(242)	26,86 66,715 67,4916 70,08 73,3175 74,6	21 3 5 17 12 13
7	Oksida besi lainnya:			
a)	FeO. 9O2O (bentuk: <i>cubic</i> , kisi: <i>primitive</i>)	11,873(111) 16,821(211) 21,769(310) 23,876(222) 30,977(420) 34,019(422) 41,989(600) 48,876(444) 53,084(642) 56,092(651) 58,040(811) 58,520(733) 59,473(742) 59,947(653) 60,886(660) 66,361(842)	11,84 16,8516 21,7866 23,8915 30,9 34,006 41,965 48,87 53,08 56,04 58,089 58,5566 59,4866 59,9175 60,802 66,3666	8 11 15 23 16 9 5 3 4 1 11 10 18 18 14 10
b)	Fe3+O(OH)	34,7(021)	34,76	5

	(bentuk: <i>orthorhombic</i> , kisi: <i>primitive</i>)	39,080(200) 51,507(141) 59,023(151) 61,384(002) 69,824(260)	39,0166 51,51 59,0394 61,3133 69,84	11 12 18 10 8
c)	Fe+2Fe ₂ O ₄ (bentuk: <i>cubic</i> , kisi: <i>face-centered</i>)	43,052(400) 65,743(531)	43,075 65,72	8 3
8	Fe(OH) ₃ (bentuk: <i>cubic</i>)	50,458(400) 61,918	50,41 61,95	13 12
	Fe(OH) ₃	36,4 38,081	36,445 38,0933	10 4
9	NaBH ₄ (bentuk: <i>cubic</i> , kisi: <i>face-centered</i>)	17,683(111) 45,440(133)	17,6006 45,4291	34 8
10	Fe ₂ B (bentuk: tetragonal, kisi : <i>body- centered</i>)	30,910(111) 67,036(310)	30,9 67,0933	16 3
11	FeB <i>orthorhombic</i> (kisi: <i>primitive</i>)	27,258(110) 41,211(111) 63,032(002)	27,26 41,2516 63,0533	13 11 13
12	FeSO ₄	25,270	25,270	7
13	H ₃ BO ₃ (bentuk: <i>Anorthic</i> , kisi: <i>Primitive</i>)	14,670(110) 18,493(011) 19,270(111) 25,959(110) 29,956(201) 37,176(102) 40,090(310) 44,410(321)	14,661 18,460 19,180 25,953 29,980 37,133 40,050 44,450	9 6 20 9 12 11 10 11
14	BO ₄ (bentuk: <i>orthorhombic</i> , kisi: <i>End-centered</i>)	39,752(130) 45,636(131/220)	39,720 45,650	1 9

c) Tabel 3 Karakterisasi XRD sampel kering komposit Besi-CMC reduksi dan adsorpsi larutan Cu²⁺

No.	Nama Senyawa	JCPDS	2θ	Intensitas
1	Fe ⁰ atau besi bervalensi nol (bentuk: <i>cubic</i> , kisi: <i>body-centered</i>)	44,671(110) 65,01	44,7 65,1	13 16
2	Fe ₃ O ₄ atau magnetik (bentuk: <i>cubic</i> , kisi:	53,563(422) 71,142(620)	53,51 71,146	18 26

	<i>face-centered)</i>	79,171(444)	79,1633	4
3.	$\alpha\text{-Fe}_2\text{O}_3$ atau hematit(bentuk: <i>rhombohedral</i> , kisi: <i>Rhomb-centered</i>)	49,554(024) 54,091(116) 56,152(211) 66,212(300) 69,794(208) 71,937(1010) 77,991(036) 78,760(223)	49,5525 54,06 56,158 66,2 69,7312 71,9381 77,98 78,695	7 10 11 10 26 15 37 12
4	$\gamma\text{-Fe}_2\text{O}_3$ atau maghemit(bentuk: <i>cubic</i> , kisi: <i>primitive</i>)	46,110(330) 56,154(510) 71,441(620)	46,1843 56,158 71,47	21 11 12
5	$\gamma\text{-Fe}_2\text{O}_3$ atau maghemit(bentuk: <i>tetragonal</i> , kisi: <i>primitive</i>)	12,995(101) 15,003(103) 17,452(103) 24,086(105) 27,770(203) 60,676(2115) 63,501(2212)	12,9833 15,055 17,4666 24,0133 27,724 60,684 63,5964	13 5 13 10 15 27 13
6	$\gamma\text{-FeO(OH)}$ atau geotit (bentuk: <i>tetragonal</i> , kisi: <i>body-centered</i>)	11,933(110) 50,756(350) 64,015(460/202) 67,424(361) 68,129(132) 74,665(242)	11,925 50,7875 64,0043 67,44 68,1025 74,6	16 15 21 2 16 31
7	Oksida besi lainnya:			
	a) $\text{FeO} \cdot 9\text{O}_2\text{O}$ (bentuk: <i>cubic</i> , kisi: <i>primitive</i>)	29,351(330) 36,152(333) 44,378(620) 46,104(533) 49,952(710) 51,011(640) 53,055(721) 55,598(650) 58,520(733) 62,741(662) 63,199(832)	29,3 36,12 44,3025 46,1843 49,95 51,0575 53,0225 55,575 58,56 62,74 63,1725	17 28 13 21 15 6 12 20 18 8 13
	b) $\text{Fe}_3\text{O(OH)}$ (bentuk: <i>orthorhombic</i> , kisi: <i>primitive</i>)	73,189(042)	73,1783	13
	c) $\text{Fe}_2\text{O}_3 \cdot 3\text{O}_4$ (bentuk: <i>cubic</i> ,	30,095(220)	30,091	20

		kisi: <i>face-centered</i>)		
8	Fe(OH) ₃ (bentuk: <i>cubic</i>)	26,4	25,5067	24
		46,905	46,8085	18
		59,188	59,31	12
		60,25	60,158	20
9	Fe(OH) ₃	53,057	53,0225	12
		61,918	62,0885	12
9	NaBH ₄ (bentuk: <i>cubic</i> , kisi: <i>face-centered</i>)	17,683(111)	17,66	68
10	Fe ₂ B (bentuk: tetragonal, kisi : <i>body-centered</i>)	58,252(114) 67,035(310)	58,24 67,03	16 12
11	FeB (bentuk: <i>orthorhombic</i> , kisi: <i>primitive</i>)	39,550(120) 72,720(022)	39,5816 72,7416	12 25
12	Cu atau logam tembaga(bentuk: <i>cubic</i> , kisi: <i>face-centered</i>)	43,640(111) 50,800(200) 74,126(220) 55,469(111)	43,6608 50,7875 74,2 55,575	10 15 30 20
13	Cu ₂ O (bentuk: <i>cubic</i> , kisi: <i>primitive</i>)	65,582(221)	65,555	19
14	CuO(bentuk: <i>monoclinic</i> , kisi: <i>end-centered</i>)	61,567(113) 68,137(220)	61,55 68,1025	9 16
15	Cu(OH) ₂ (bentuk: <i>orthorhombic</i> , kisi: <i>end-centered</i>)	47,059(112) 63,690(043) 64,735(152) 75,939(241)/222	47 63,5964 64,76 75,94	3 13 12 50
16.	Cu ₂ +SO ₄ .5H ₂ O (bentuk: <i>anorthic</i> , kisi: <i>primitive</i>)	19,028(110) 24,920(201) 25,575(030) 33,316(212) 36,866(141) 37,359(231) 38,921(301) 40,660(321) 43,014(041) 45,762(042) 46,131(203) 47,434(320) 19,520	19,042 24,9666 25,5043 33,3266 36,88 37,375 38,9075 40,685 43,0126 45,78 46,1843 47,495 19,520	14 7 12 7 14 15 18 11 6 6 21 13 10

12	FeSO ₄	23,350 25,820 29,860 18,493(011)	23,233 25,926 29,834 18,510	21 13 14 8
13	H ₃ BO ₃ (bentuk: <i>Anorthic</i> , kisi: <i>Primitive</i>)	35,176(102) 40,276(210)	35,160 40,272	25 11
14	BO ₄ (bentuk: <i>orthorhombic</i> , kisi: <i>End-centered</i>)	75,341(331)	75,340	43

2. Karakterisasi FTIR untuk ikatan CMC dengan partikel besi

a) Tabel 4.1 Data FT-IR berdasarkan ikatan CMC dengan partikel besi

Bilangan gelombang (1/cm)			
0,1 w/v% CMC-partikel besi (S. tanpa pengeringan)	0,2 w/v% CMC-partikel besi (S.tanpa pengeringan)	0,3 w/v% CMC-partikel besi (S. tanpa pengeringan)	Ikatan
3441,01	3302,13	3340,71	O-H Stretch
2916,37	2846,93		Stretching C-H
1643,35	1604,77	1643,35	COO ⁻ (asymmetric)
1411,89	1334,74	1365,60	COO ⁻ (symmetric)
	1103,28		C-O-C stretch (RCH ₂ OCH ₂ R)
1095,57		1087,41	C-O stretch (RCH ₂ OH)
1018,41	1010,70	1018,41	C-O stretch (R ₂ CHOH)

B. Lampiran Perhitungan

1. Perhitungan karakterisasi XRD berdasarkan persentase senyawa yang terdapat dalam komposit Besi-CMC baik sampel tanpa pengeringan, sampel kering maupun sampel kering setelah reaksi reduksi dan adsorpsi pada ion logam Cu^{2+} .
 - a. Tabel 4.2 Data XRD berdasarkan peningkatan kadar Oksida pada Fe^0 serta hasil reduksi, adsorpsi dan persipitasi Besi-CMC.

Menggunakan persamaan:

Intensitas senyawa :

$$\frac{\text{Jumlah intensitas jenis senyawa}}{\text{Jumlah seluruh intensitas berbagai jenis senyawa yang terlibat}} \times 100\%$$

$$\text{Contoh: Magnetik s. basah CMC-nZVI : } \frac{76}{1085} \times 100\% = 7,005\%$$

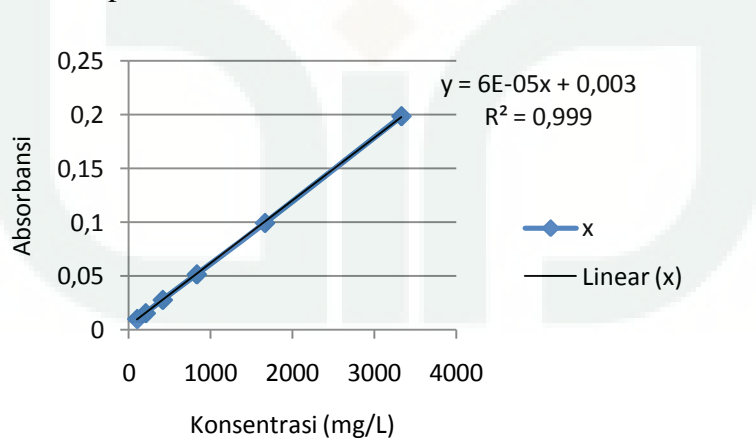
No.	Jenis-jenis senyawa	S. tanpa pengeringan Besi-CMC (%)	S. kering Besi-CMC (%)	S. kering Besi-CMC reduksi dan adsorpsi Cu^{2+} (%)
1	Magnetit	6,129	6,179	4,333
2	Fe^0	0,887	0,843	2,000
3	Hematite	10,323	16,948	8,666
4	Maghemit	19,435	8,427	9,479
5	Geotit	5,887	5,993	6,838
6	Besi oksida lain	28,871	37,640	13,812
7	Fe(OH)_3	6,290	3,652	6,635
8	NaBH_4	3,145	3,933	4,604
9	Fe_2B	2,661	3,089	1,896
10	FeB	3,871	3,464	2,505
11	Cu			5,078
12	CuO			1,693
13	Cu_2O			2,369
14	$\text{CuSO}_4 \cdot 2\text{H}_2\text{O}$			9,749
15	Cu(OH)_2			5,281
15	FeSO_4	0,161	0,655	3,927
16	H_3BO_3	11,774	8,239	2,979
17	BO_4	2,581	0,936	2,911

2. Perhitungan reduksi dan adsorpsi komposit Besi-CMC dengan Cu²⁺.

a. Tabel 4 Pembuatan kurva kalibrasi CuSO₄. 5H₂O

No.	$\lambda_{\text{max}} = 816 \text{ nm}$	
	Absorbansi	Konsentrasi (mg/L)
1	0,198	3333
	0,199	
	0,198	
2	0,099	1665,5
	0,099	
	0,100	
3	0,052	832,75
	0,052	
	0,051	
4	0,028	416,375
	0,029	
	0,027	
5	0,016	208,187
	0,015	
	0,016	
6	0,011	104,09
	0,010	
	0,010	

b. Data diperoleh kurva kalibrasi



Gambar 1 Kurva kalibrasi untuk standarisasi logam Cu²⁺ 0.013 M atau 3333 mg/L

Dari kurva didapatkan $y = 6E-05x + 0.003$, sehingga larutan stok Cu²⁺

dapat distandarisasi yaitu:

Diketahui: absorbansi larutan stok : 0.199, sehingga perhitungannya sebagai berikut:

$$y = 6, x + 0,003$$

$$0,199 = 6, 10^{-5}x + 0,003$$

$$x = \frac{0,199 - 0,003}{6, 10^{-5}}$$

$$x = 3281,6 \text{ mg/L}$$

c. Absorbansi Cu²⁺ saat pH 1; 2; 3; 4 dan 5

➤ Perhitungan untuk pH 1 :

$$y = 6, 10^{-5}x + 0,003$$

$$0,104 = 6, 10^{-5}x + 0,003$$

$$x = \frac{0,104 - 0,003}{6, 10^{-5}}$$

$$x = 1683,3 \text{ mg/L}$$

Tabel 5 Perhitungan pH awal Cu dengan variasi pH 1-5

No.	pH	Absorbansi	Konsentrasi (mg/L)
1	1	0,104	1683,3
		0,104	
2	2	0,200	3291,6
		0,201	
3	3	0,176	2883,3
		0,176	
4	4	0,190	3116,6
		0,190	
5	5	0,035	533,3
		0,035	

d. Absorbansi Cu²⁺ setelah di reduksi dan diabsorpsi oleh komposit Besi-CMC

➤ Perhitungan untuk pH 1 :

$$y = 6,10^{-5}x + 0,003$$

$$0,0846 = 6,10^{-5}x + 0,003$$

$$x = \frac{0,0846 - 0,003}{6,10^{-5}}$$

$$x = 1360 \text{ mg/L}$$

- Konsentrasi total (mg/L) dari konsentrasi awal pH dikurangi dengan konsentrasi reduksi dan absorpsi komposit Besi-CMC

Perhitungan pH 1:

Konsentrasi total : $C_{\text{awal pH}} - C_{\text{komposit Besi-CMC}}$

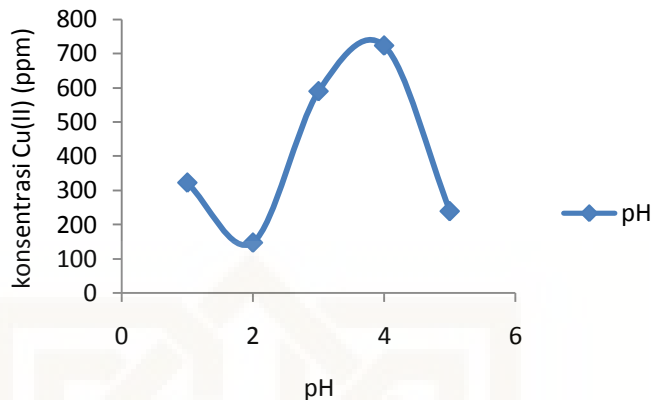
$$: (1683,3 - 1360) \text{ mg/L}$$

$$: 323,3 \text{ mg/L}$$

Tabel 6 Konsentrasi Cu^{2+} berdasarkan pH setelah direduksi dan diadsorpsi dengan komposit Besi-CMC

No.	pH	Absorbansi	Rata-rata Absorbansi	Konsentrasi (mg/L)	Konsentrasi Total (mg/L)
1	1	0,085	0,0846	1360	323,3
		0,084			
		0,085			
2	2	0,191	0,1916	3143,3	148,3
		0,191			
		0,193			
3	3	0,140	0,1406	2293,3	590
		0,139			
		0,143			
4	4	0,144	0,1406	2393,3	723,3
		0,148			
		0,148			
5	5	0,021	0,0206	293,33	239,97
		0,020			
		0,021			

➤ Dari Tabel perhitungan pH, diperoleh grafik sebagai berikut:



Gambar 4.7 Hasil reduksi dan adsorpsi komposit Besi-CMC larutan Cu^{2+} berdasarkan pH 1, 2, 3, 4 dan 5.

- e. Absorbansi Cu^{2+} berdasarkan waktu kontak 30; 60; 90; 150; 210; 240; 300; 360; 420; 480 dan 540 menit

Absorbansi awal pH 4 Cu^{2+} :

Konsentrasi pH 4 Cu^{2+} :

$$y = 6,10^{-5}x + 0,003$$

$$= 6,10^{-5}x + 0,003$$

$$x = \frac{0,202 - 0,003}{6,10^{-5}}$$

$$x = 3311 \text{ mg/L}$$

Konsentrasi Total : $C_{\text{awal pH4}} - C_{\text{komposit Besi-CMC}}$

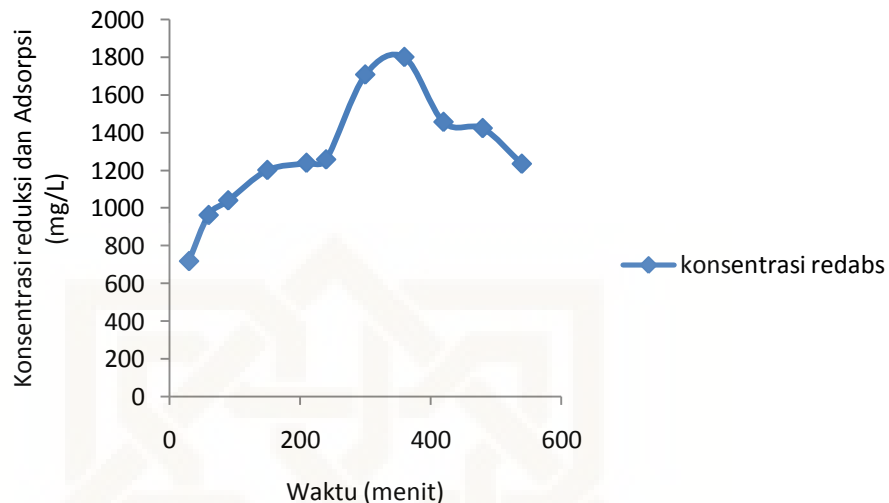
$$: 3311 \text{ mg/L} - 2594,4 \text{ mg/L}$$

$$: 717 \text{ mg/L}$$

Tabel 7 Variasi waktu kontak komposit Besi-CMC dengan Cu²⁺

No.	Waktu Kontak (menit)	Absorbansi	Konsentrasi (mg/L)	Konsentrasi Total (mg/L)
1	30	0,159	2594,4	717
		0,158		
		0,159		
2	60	0,147	2350	961
		0,143		
		0,142		
3	90	0,139	2272	1039
		0,140		
		0,139		
4	150	0,130	2111	1200
		0,129		
		0,129		
5	210	0,128	2072	1238
		0,127		
		0,127		
6	240	0,126	2055	1256
		0,126		
		0,127		
7	300	0,099	1605	1706
		0,099		
		0,106		
8	360	0,094	1511	1799
		0,093		
		0,094		
9	420	0,114	1855	1455
		0,114		
		0,115		
10	480	0,117	1888	1422
		0,116		
		0,116		
11	540	0,128	2077	1233
		0,127		
		0,128		

- Dari Tabel perhitungan waktu kontak, diperoleh grafik sebagai berikut:

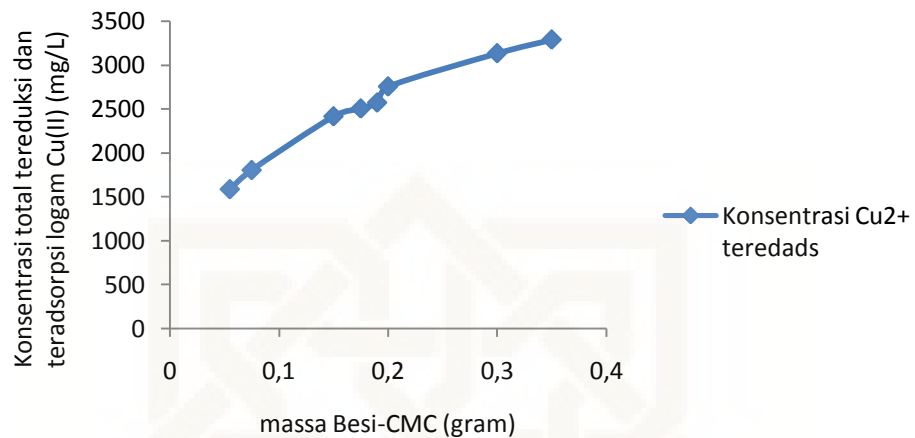


Gambar 4.8 a) Grafik variasi waktu dengan konsentrasi tetap larutan Cu^{2+} 0,013 M atau 3333 mg/L.

f. Tabel 8 Absorbansi Cu^{2+} berdasarkan konsentrasi komposit Besi-CMC

No.	Konsentrasi (gram)	Absorbansi	Konsentrasi (mg/L)	Konsentrasi Total (mg/L)
1	0,055	0,106	1722	1588
		0,107		
		0,106		
2	0,075	0,093	1505	1805
		0,094		
		0,093		
3	0,150	0,057	894	2416
		0,057		
		0,056		
4	0,175	0,051	805	2505
		0,052		
		0,051		
5	0,190	0,048	728	2572
		0,047		
		0,047		
6	0,200	0,036	555	2755
		0,037		
		0,036		
7	0,300	0,013	177	3133
		0,014		
		0,014		
8	0,35	0,004	22	3288
		0,005		
		0,004		

- Dari Tabel perhitungan konsentrasi komposit Besi-CMC,diperoleh grafik sebagai berikut:



Gambar 4.9 Grafik variasi konsentrasi massa komposit Besi-CMC dengan konsentrasi tetap larutan Cu²⁺ 0,013 M atau 3333 mg/L.

g. Tabel 9 Perhitungan metode Langmuir dan metode Freundlich untuk reduksi atau adsorpsi

(Ce)ppm	V(L)	mass Absoben(g)	Qe	Ce/Qe	Ce(mg/L)
1722	0,015	0,055	433,4	3,974	1722
1505	0,015	0,075	361,2	4,167	1505
894	0,015	0,15	241,7	3,699	894
805	0,015	0,175	214,8	3,748	805
728	0,015	0,19	203,9	3,570	728
555	0,015	0,2	206,7	2,685	555
177	0,015	0,3	156,7	1,129	177
22	0,015	0,35	140,9	0,156	22

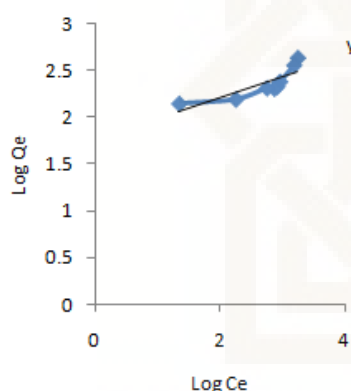
Tabel 10 a) Perhitungan Langmur dan b) Perhitungan Freundlich

$\log Q_e$	$\log C_e$
2,637	3,236
2,558	3,178
2,383	2,951
2,332	2,906
2,309	2,862
2,315	2,744
2,195	2,248
2,149	1,342

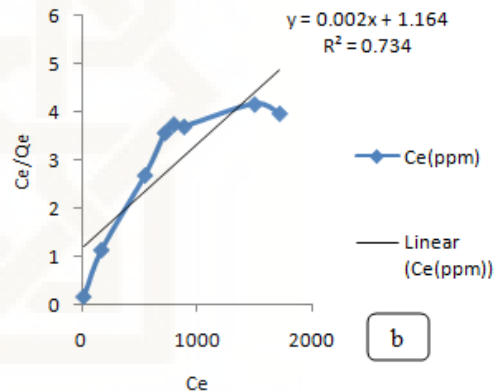
a

Co	Co/Ce
0,055	3,194E-05
0,075	4,983E-05
0,15	0,000168
0,175	0,000217
0,19	0,000261
0,2	0,000360
0,3	0,00169
0,35	0,0159

b



a



b

Gambar 4.10 a) Grafik Freundlich dengan $R^2= 0,676$ dan b) Grafik Langmuir dengan $R^2= 0,734$ 3. Perhitungan konsentrasi $FeSO_4 \cdot 7H_2O$ dan $NaBH_4$ sebagai berikut:

$$Mr NaBH_4 = 37,83 \text{ g/mol}$$

$$Mr FeSO_4 \cdot 7H_2O = 278,0146 \text{ g/mol}$$

- a) Menghitung massa yang ditimbang untuk 10 mL larutan $FeSO_4 \cdot 7H_2O$

7 H_2O konsentrasi 0,065 M

$$mol FeSO_4 \cdot 7H_2O = 0,065 \frac{mol}{L} \times 0,01 L = 6,5 \times 10^{-4} mol$$

$$gram FeSO_4 \cdot 7H_2O = 6,5 \times 10^{-4} mol \times 278,0146 \text{ g/mol}$$

$$= 0,1087 \text{ gram}$$

$$mol NaBH_4 = 1 \frac{mol}{L} \times 0,002 L = 2 \times 10^{-3} mol$$

$$\begin{aligned} gram NaBH_4 &= 2 \times 10^{-3} mol \times 37,83 g/mol \\ &= 0,07566 gram \end{aligned}$$

gram CMC = 0,2 w/v = 0,2 gram untuk 100 mL,

sehingga untuk 0,02 g untuk 10 mL

- b) Menghitung massa yang ditimbang untuk 20 mL larutan FeSO₄.

7H₂O konsentrasi 0,719 M

$$mol FeSO_4 \cdot 7H_2O = 0,719 \frac{mol}{L} \times 0,02 L = 1,438 \times 10^{-2} mol$$

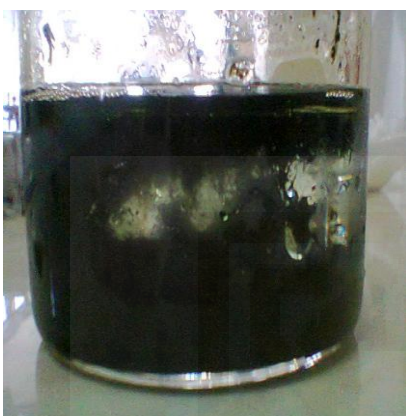
$$\begin{aligned} gram FeSO_4 \cdot 7H_2O &= 1,438 \times 10^{-2} mol \times 278,0146 g/mol \\ &= 4 gram \end{aligned}$$

$$mol NaBH_4 = 2,157 \frac{mol}{L} \times 0,004 L = 8,628 \times 10^{-3} mol$$

$$\begin{aligned} gram NaBH_4 &= 8,628 \times 10^{-3} mol \times 37,83 g/mol \\ &= 0,326 gram \end{aligned}$$

Jika CMC 0,02 gram untuk konsentrasi FeSO₄ sebesar 0,065, maka konsentrasi CMC sebesar 0,221 gram untuk konsentrasi 0,719 M.

C. Lampiran Gambar



Gambar 2 Hasil sintesis komposit Besi-CMC dengan konsentrasi 0.179M



Gambar 3 Hasil pengeringan komposit Besi-CMC dengan vakum *dessicator*.



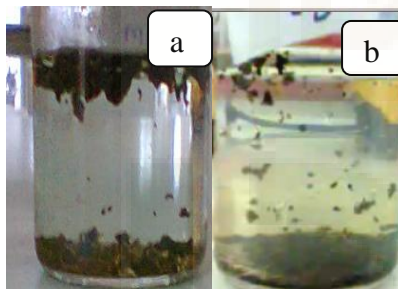
Gambar 4 a) sampel tanpa pengeringan Besi-CMC mengalami oksidasi, b) pengeringan Besi-CMC hasil reduksi dan adsorpsi Cu^{2+} , dan c) pengeringan Besi-CMC yang telah mengalami oksidasi.



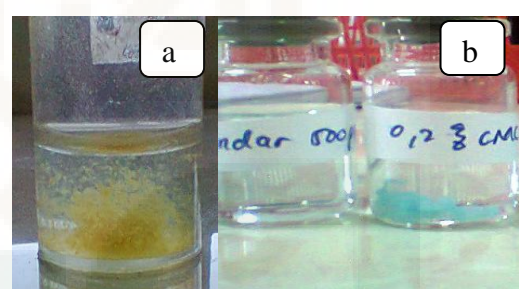
Gambar 5 Pengujian agglomerasi komposit Besi-CMC dari 1 hari-2 minggu



Gambar 6 Pengendapan logam Cu^{2+} berdasarkan variasi pH 1-5 dengan H_2SO_4 dan NaOH



Gambar 7 a) Sampel tanpa pengeringan dan b) Sampel kering komposit Besi-CMC dalam melakukan reduksi dan adsorpsi Cu^{2+}



Gambar 8 a) hasil reduksi dan adsorpsi komposit Besi-CMC terhadap Cu^{2+} , b) CMC melakukan adsorpsi logam Cu^{2+} .

CURRICULUM VITAE



Nama : Anita Sari

Tempat Tanggal lahir : Sukoharjo, 18 Agustus 1993

Alamat Asal : Kunden rt 01/ Rw 09, Kec. Bulu, Kab. Sukoharjo.

Alamat sekarang : Baciro, Gendeng no. 983 Rt 85/ Rw 20 YK

Nomor Hp : 085728528945

Email : anita123.sari123@gmail.com

Pendidikan Formal : 1. SD Negeri 03 Kunden (1999-2005)
2. SMP Negeri 01 Bulu (2005-2008)
3. SMA Negeri 01 Bulu (2008-2011)
4. UIN Sunan Kalijaga Yogyakarta (2011-2015)

Pengalaman Kerja : 1. Asisten Praktikum (2014-2015)